

УДК 620.179

ВИЗНАЧЕННЯ ТРИЩИНОСТІЙКОСТІ НА ОСНОВІ ЧИСЛОВОГО МОДЕЛЮВАННЯ ПЛОСКОГО ДЕФОРМОВАНОГО СТАНУ

В. Р. БОГДАНОВ¹, Г. Т. СУЛИМ²

¹ Національний транспортний університет, Київ;

² Львівський національний університет ім. Івана Франка

Розроблено метод неруйнівного визначення границі міцності і в'язкості руйнування K_{Ic} конструкційних сталей, що базується на високоточному обчисленні деформацій і напружень, які отримано з числового розв'язку задачі уточненого плоского деформованого стану в нестационарному пружно-пластичному формулюванні. Розроблена методика добре описує деградацію міцності матеріалів конструкцій, призначених для тривалої експлуатації за високих чи низьких температур, в агресивному середовищі або під впливом радіаційного опромінення, зокрема реакторних сталей 15X2НМФА, 10ГН2МФА, 2Cr–Ni–Mo–V.

Ключові слова: в'язкість руйнування, пластична деформація, тріщина, ресурс міцності, критичний коефіцієнт інтенсивності напружень.

Розвинуто [1–4] імовірнісний підхід до визначення в'язкості руйнування K_{Ic} конструкційних сталей. Зокрема, використано моделі течіння і руйнування Бріджмена [2, 4]; квазістатичну пружно-пластичну модель [3]; розв'язано задачу плоского напруженого стану за пружно-пластичної динамічної моделі [1]. Нижче запропоновано пружно-деформований стан визначити на основі невеликої кількості дослідних даних [4] і розв'язку пружно-пластичної динамічної задачі плоского деформованого стану. З'ясовано, що емпірично визначений параметр $m_0 = 0,1$ зайвий, і розрахункові криві в'язкості руйнування точніше описують експериментальні результати для реакторних сталей типу 2Cr–Ni–Mo–V, 15X2НМФА, 10ГН2МФА.

Формулювання задачі. Використовуючи дані одновісного розтягу і попереднього циклічного деформування з наступним розривом, експериментально визначали критичні напруження крихкого руйнування $S_C(\kappa)$ для реакторних сталей [2, 5]. На основі цих результатів запропоновано границю текучості $\sigma_{0,2}(T)$ та критичні напруження крихкого руйнування апроксимувати залежностями

$$\sigma_{0,2}(T) = a - c(T + 273) + b \exp(-h(T + 273)); \quad (1)$$

$$S_C(\kappa) = [C_1 + C_2 \exp(-A_d \kappa)]^{-1/2},$$

де $\kappa = \int d\varepsilon_i^p$ – параметр Одквіста; $d\varepsilon_i^p$ – прирости інтенсивності пластичних деформацій; T – температура за Цельсієм; параметри a, c, b, h, C_1, C_2 і A_d цих залежностей характеризують властивості досліджуваного полікристалічного матеріалу.

Для опису процесу зрушення тріщин у маломасштабних зразках Шарпі з полікристалічного матеріалу з включеннями карбїду, зокрема K_{Ic} , використано числове моделювання напружено-деформованого стану відповідної плоскої пружно-пластичної динамічної моделі, яку доповнено локальним критерієм крихкого руйнування полікристалічного матеріалу і застосовано функцію розподілу Вейбула для врахування розподілу карбїдів за міцністю. Усе тіло–зразок умовно поділено

Контактна особа: В. Р. БОГДАНОВ, e-mail: vladislav_bogdanov@hotmail.com

на малі елементи-комірки, для яких числовим методом визначають досягнуті пластичні деформації та напруження для того, щоби використати критерій локального руйнування у вигляді [2, 4]

$$\sigma_1 + m_{T\varepsilon}(T, \kappa)\sigma_{eff} \geq \sigma_d; \quad (2)$$

$$\sigma_1 \geq S_C(\kappa);$$

$$\sigma_{eff} = \sigma_i - \sigma_{02}, \quad (3)$$

де σ_1 – максимальне головне напруження; σ_i – інтенсивність напружень; σ_d – ефективна міцність карбідів або інших частинок, на яких зароджуються мікротріщини відколу; σ_{eff} – певне ефективне напруження. Оскільки основний внесок у явище виникнення пластичних деформацій роблять напруження зсуву, то доцільніше використовувати вираз $\sigma_{eff} = \sigma_i - \tau_{0,2}$, однак з огляду на експериментально з'ясовані дані [2, 4], застосовано вираз (3).

Залежний від температури T і рівня досягнутої пластичної деформації ε коефіцієнт зміцнення $m_{T\varepsilon}$ запишемо у вигляді добутку температурної $m_T(T)$ і деформаційної $m_\varepsilon(\kappa)$ складових так [4]:

$$m_{T\varepsilon}(T, \kappa) = m_T(T)m_\varepsilon(\kappa).$$

Тут $m_T(T) = \sigma_{Ys}(T)$, $m_\varepsilon(\kappa) = S_0 / S_C(\kappa)$, $S_0 \equiv S_C(\kappa)|_{\kappa=0}$; σ_{Ys} – температурно-залежна складова границі текучості. Співвідношення $m_T(T) = m_0\sigma_{Ys}(T)$ використовували [4] з експериментально визначеною на рівні 0,1 ваговою сталюю m_0 . Однак доцільніше не проводити додаткових експериментів і оцінити $m_T(T)$ безпосередньо величиною $\sigma_{Ys}(T)$, апіорі вважаючи $m_0 = 1$.

Для врахування спричиненого карбідами імовірнісного характеру руйнування у критерії (2) параметр σ_d вважаємо стохастичним з функцією розподілу Вейбула [6] з параметрами η , σ_{d0} , $\tilde{\sigma}_d$:

$$p(\sigma_d) = 1 - \exp\left(-\left(\frac{\sigma_d - \sigma_{d0}}{\tilde{\sigma}_d}\right)^\eta\right).$$

На відміну від використаної суто експериментальної методики [4] деформації, їхні природи, параметр Одквіста, ефективні і головні напруження отримано з числового розв'язку динамічної пружно-пластичної задачі згину нескінченного бруса $\{-L/2 \leq x \leq L/2; 0 \leq y \leq B; -\infty \leq z \leq \infty\}$ в площині його поперечного перерізу у формі зразків типу Шарпі. Вважатимемо, що напружено-деформований стан у кожному поперечному перерізі бруса однаковий, близький до плоскої деформації, отже достатньо розв'язувати задачу лише для одного перерізу у формі прямокутника $\Sigma = L \times B$ з пропилом-тріщиною завдовжки l $\{x = 0; 0 \leq y \leq l\}$, який контактує з двома нерухомими опорами на ділянці $\{L_* \leq |x| \leq L_* + a; y = 0\}$.

Зверху на тіло падає абсолютно жорсткий ударник. Його дію на відрізок $\{|x| \leq A; y = B\}$ замінимо рівномірно розподіленим в області контакту нормальним напруженням $-P$, що змінюється з часом як лінійна функція $P = p_{01} + p_{02}t$. З огляду на симетрію задачі відносно лінії $x = 0$ розглянемо лише праву частину поперечного перерізу (рис. 1а). У розрахунках використано відомі методики дослідження квазістатичної пружно-пластичної [3, 7] моделі, що враховують нестационарність навантаження і застосовують числове інтегрування, зреалізоване в розрахунку динамічної пружної моделі [8]. Крайові умови задачі запишемо так:

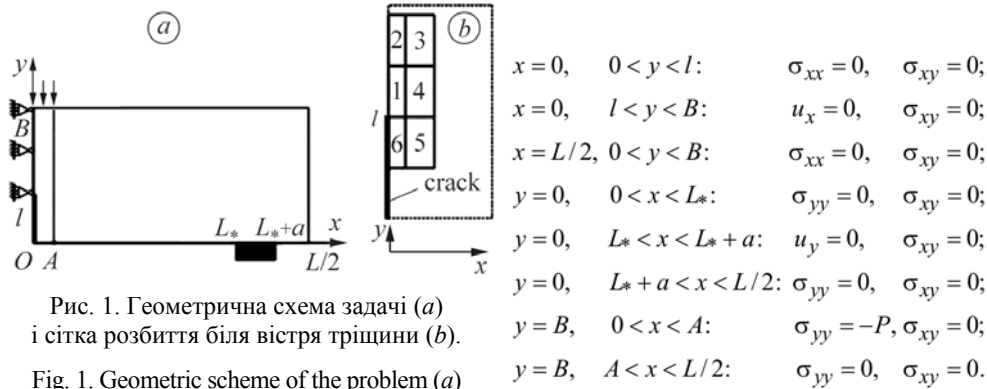


Рис. 1. Геометрична схема задачі (а) і сітка розбиття біля вістря тріщини (б).

Fig. 1. Geometric scheme of the problem (a) and a grid at the crack tip (b).

Розглянемо рівняння плоскої динамічної теорії, для якої компоненти вектора зміщень $\mathbf{u} = (u_x, u_y)$ пов'язані з компонентами тензора деформацій співвідношеннями Коші $\varepsilon_{xx} = \frac{\partial u_x}{\partial x}$, $\varepsilon_{yy} = \frac{\partial u_y}{\partial y}$, $\varepsilon_{xy} = \frac{1}{2} \left(\frac{\partial u_x}{\partial y} + \frac{\partial u_y}{\partial x} \right)$, а рівняння руху середовища

$$\text{мають вигляд} \quad \frac{\partial \sigma_{xx}}{\partial x} + \frac{\partial \sigma_{xy}}{\partial y} = \rho \frac{\partial^2 u_x}{\partial t^2}, \quad \frac{\partial \sigma_{xy}}{\partial x} + \frac{\partial \sigma_{yy}}{\partial y} = \rho \frac{\partial^2 u_y}{\partial t^2}.$$

В основу визначальних співвідношень механічної моделі покладено теорію неізотермічного пластичного течіння середовища зі зміцненням за умови текучості Губера–Мізеса. Ефектами повзучості і температурним розширенням нехтуємо. Тоді, вважаючи компоненти тензора деформацій сумою пружних і пластичних його складових, отримаємо для них

$$\varepsilon_{ij} = \varepsilon_{ij}^e + \varepsilon_{ij}^p, \quad \varepsilon_{ij}^e = \frac{1}{2G} s_{ij} + K\sigma + \varphi, \quad d\varepsilon_{ij}^p = s_{ij} d\lambda. \quad (4)$$

Тут $s_{ij} = \sigma_{ij} - \delta_{ij}\sigma$ – компоненти девіатора тензора напружень; δ_{ij} – символ Кронекера; G – модуль зсуву; $K_1 = (1 - 2\nu)/(3E)$, $K = 3K_1$ – модуль об'ємного стиску, що зв'язує у співвідношенні $\varepsilon = K\sigma + \varphi$ об'ємне розширення 3ε (температурне розширення $\varphi \equiv 0$); $\sigma = (\sigma_{xx} + \sigma_{yy} + \sigma_{zz})/3$ – середнє напруження; $d\lambda$ – деяка скалярна функція, що визначається формою поверхні навантаження і квадратично залежить від девіатора напружень s_{ij} [7]. Для матеріалу з коефіцієнтом зміцнення η^* [3]:

$$\sigma_S(T) = \sigma_{02}(T_0) \left(1 + \frac{\kappa(T)}{\varepsilon_0} \right)^{\eta^*}, \quad \varepsilon_0 = \frac{\sigma_{02}(T_0)}{E}, \quad T_0 = 20^\circ \text{C},$$

де E – модуль пружності; $\sigma_S(T)$ – границя текучості після зміцнення матеріалу.

Перепишемо (4) у розгорнутій формі:

$$d\varepsilon_{xx} = d \left(\frac{\sigma_{xx} - \sigma}{2G} + K\sigma \right) + (\sigma_{xx} - \sigma) d\lambda, \quad d\varepsilon_{yy} = d \left(\frac{\sigma_{yy} - \sigma}{2G} + K\sigma \right) + (\sigma_{yy} - \sigma) d\lambda,$$

$$d\varepsilon_{zz} = d \left(\frac{\sigma_{zz} - \sigma}{2G} + K\sigma \right) + (\sigma_{zz} - \sigma) d\lambda, \quad d\varepsilon_{xy} = d \left(\frac{\sigma_{xy}}{2G} \right) + \sigma_{xy} d\lambda,$$

причому

$$d\lambda = \left\{ 0 \quad (f \equiv \sigma_i^2 - \sigma_S^2(T) < 0), \quad \frac{3d\varepsilon_i^p}{2\sigma_i} \quad (f = 0, \quad df = 0) \right\} \quad (f > 0 \text{ – неприпустиме});$$

$$d\varepsilon_i^p = \frac{\sqrt{2}}{3} \sqrt{(d\varepsilon_{xx}^p - d\varepsilon_{yy}^p)^2 + (d\varepsilon_{xx}^p - d\varepsilon_{zz}^p)^2 + (d\varepsilon_{yy}^p - d\varepsilon_{zz}^p)^2 + 6(d\varepsilon_{xy}^p)^2}, \quad (5)$$

$$\sigma_i = \frac{1}{\sqrt{2}} \sqrt{(\sigma_{xx} - \sigma_{yy})^2 + (\sigma_{xx} - \sigma_{zz})^2 + (\sigma_{yy} - \sigma_{zz})^2 + 6\sigma_{xy}^2}.$$

На відміну від рівнянь традиційної плоскої деформації, коли $\Delta\varepsilon_{zz}(x, y) = \text{const}$, для уточненого опису деформування зразка з урахуванням можливого поздовжнього видовження, $\Delta\varepsilon_{zz}$ подамо у вигляді [7, 9]

$$\Delta\varepsilon_{zz}(x, y) = \Delta\varepsilon_{zz}^0 + \Delta\chi_x x + \Delta\chi_y y, \quad (6)$$

де невідомі $\Delta\chi_x$ і $\Delta\chi_y$ характеризують згин призматичного тіла (моделює в механіці деформівного твердого тіла стан плоскої деформації) в площинах Ozx і Ozy відповідно, а $\Delta\varepsilon_{zz}^0$ – прирости за згаданого згину деформації вздовж волокон $x = y = 0$.

Схема розв'язування задачі. Нехай нестационарна взаємодія відбувається в інтервалі часу $t \in [0, t_*]$. Тоді для кожного моменту часу t :

$$\varepsilon_{xx}^e = \frac{\sigma_{xx} - \sigma}{2G} + K\sigma, \quad \varepsilon_{yy}^e = \frac{\sigma_{yy} - \sigma}{2G} + K\sigma, \quad \varepsilon_{zz}^e = \frac{\sigma_{zz} - \sigma}{2G} + K\sigma, \quad \varepsilon_{xy}^e = \frac{\sigma_{xy}}{2G},$$

$$\frac{d\varepsilon_{xx}^p}{dt} = (\sigma_{xx} - \sigma) \frac{d\lambda}{dt}, \quad \frac{d\varepsilon_{yy}^p}{dt} = (\sigma_{yy} - \sigma) \frac{d\lambda}{dt}, \quad \frac{d\varepsilon_{zz}^p}{dt} = (\sigma_{zz} - \sigma) \frac{d\lambda}{dt}, \quad \frac{d\varepsilon_{xy}^p}{dt} = \sigma_{xy} \frac{d\lambda}{dt}.$$

Для числового інтегрування за часом використано квадратурну формулу Грегорі [10] порядку $m_1 = 3$ з коефіцієнтами D_n . Після дискретизації за часом з вузлами $t_k = k\Delta t \in [0, t_*]$ ($k = \overline{0, K}$) для кожного значення k запишемо відповідні вузлові значення приростів деформацій:

$$\Delta\varepsilon_{xx,k} = B_1\sigma_{xx,k} + B_2\sigma_{yy,k} - \beta_{xx}, \quad B_1 = \frac{\alpha_1^2 - \alpha_2^2}{\alpha_1}, \quad \alpha_1 = \frac{1}{3} \left(K + \frac{1}{G} + 2D_0\Delta\lambda_k \right),$$

$$\Delta\varepsilon_{yy,k} = B_2\sigma_{xx,k} + B_1\sigma_{yy,k} - \beta_{yy}, \quad B_2 = \frac{\alpha_2(\alpha_1 - \alpha_2)}{\alpha_1}, \quad \alpha_2 = \frac{1}{3} \left(K - \frac{1}{2G} - D_0\Delta\lambda_k \right),$$

$$\Delta\varepsilon_{zz,k} = \alpha_1\sigma_{zz,k} + \alpha_2(\sigma_{xx,k} - \sigma_{yy,k}) - b_{zz}, \quad \Delta\varepsilon_{xy,k} = B_3\sigma_{xy,k} - b_{xy}, \quad (7)$$

$$B_3 = \frac{1}{2G} + D_0\Delta\lambda_k, \quad \beta_{xx} = b_{xx} - \alpha_2(b_{zz} + \Delta\varepsilon_{zz})/\alpha_1, \quad \beta_{yy} = b_{yy} - \alpha_2(b_{zz} + \Delta\varepsilon_{zz})/\alpha_1,$$

$$\beta_{zz} = -(b_{zz} + \Delta\varepsilon_{zz})/\alpha_1, \quad b_{ij} = \frac{1}{2G}\sigma_{ij,k-1} + \delta_{ij} \left(K - \frac{1}{2G} \right) \sigma_{k-1} -$$

$$- \sum_{n=1}^{m_1} D_n (\sigma_{ij,k-n} - \delta_{ij} \sigma_{k-n}) \Delta\lambda_{k-n} \quad (i, j = x, y, z).$$

Функція $\psi = 1/(2G) + \Delta\lambda$, що характеризує умову текучості, з урахуванням (5), (6) дорівнює:

$$\psi = \left\{ \frac{1}{2G} \quad (f < 0), \quad \frac{1}{2G} + \frac{3\Delta\varepsilon_i^p}{2\sigma_i} \quad (f = 0, df = 0) \right\} \quad (f > 0 - \text{неприпустиме}),$$

$$\Delta\varepsilon_i^p = \frac{\sqrt{2}}{3} \sqrt{(\Delta\varepsilon_{xx}^p - \Delta\varepsilon_{yy}^p)^2 + (\Delta\varepsilon_{xx}^p - \Delta\varepsilon_{zz}^p)^2 + (\Delta\varepsilon_{yy}^p - \Delta\varepsilon_{zz}^p)^2 + 6(\Delta\varepsilon_{xy}^p)^2},$$

$$\Delta\varepsilon_{xx}^p = \Delta\varepsilon_{xx} - \Delta\varepsilon_{xx}^e, \quad \Delta\varepsilon_{yy}^p = \Delta\varepsilon_{yy} - \Delta\varepsilon_{yy}^e, \quad \Delta\varepsilon_{xy}^p = \Delta\varepsilon_{xy} - \Delta\varepsilon_{xy}^e, \quad \Delta\varepsilon_{zz}^p = \Delta\varepsilon_{zz} - \Delta\varepsilon_{zz}^e,$$

$$\Delta\varepsilon_{xx}^e = \frac{1}{2G}\sigma_{xx,k} + \left(K - \frac{1}{2G} \right) \sigma_k, \quad \Delta\varepsilon_{yy}^e = \frac{1}{2G}\sigma_{yy,k} + \left(K - \frac{1}{2G} \right) \sigma_k,$$

$$\Delta \varepsilon_{xy}^e = \frac{1}{2G} \sigma_{xy,k}, \quad \Delta \varepsilon_{zz}^e = \frac{1}{2G} \sigma_{zz,k} + \left(K - \frac{1}{2G} \right) \sigma_k, \quad \sigma_k = \frac{\sigma_{xx,k} + \sigma_{yy,k} + \sigma_{zz,k}}{3}. \quad (8)$$

Враховуючи під час розрахунків величину $\Delta \varepsilon_{zz}^p$, виявили, що її вплив настільки малий, що без зменшення точності обчислень можна вважати $\Delta \varepsilon_{zz}^p = 0$.

Для врахування фізичної нелінійності, що міститься в умовах (8), застосовано метод послідовних наближень, який дає можливість нелінійну задачу звести до послідовності лінійних задач [7]

$$\psi^{(n+1)} = \left\{ \begin{aligned} &\psi^{(n)} p + \frac{1-p}{2G} (\sigma_i^{(n)} - \sigma_S(T) < -Q); \quad \psi^{(n)} \quad (-Q < \sigma_i^{(n)} - \sigma_S(T) < Q); \\ &\psi^{(n)} \frac{\sigma_i^{(n)}}{\sigma_S(T)} (\sigma_i^{(n)} - \sigma_S(T) > Q) \end{aligned} \right\},$$

де Q – найбільше відхилення інтенсивності напружень від зміцненої границі текучості; емпіричну сталу $0 \leq p \leq 1$ визначають для різних типів матеріалів (для м'яких сталей вона дорівнює 0,25; для твердих 0,75; для дуже твердих інструментальних сталей 0,87...0,90).

Розв'язок системи (7) дає вирази для компонент тензора напружень на кожному кроці:

$$\begin{aligned} \sigma_{xx,k} &= A_1 \Delta \varepsilon_{xx,k} + A_2 \Delta \varepsilon_{yy,k} + Y_{xx}, \quad Y_{xx} = A_1 \beta_{xx} + A_2 \beta_{yy}, \quad A_1 = B_1 / (B_1^2 - B_2^2), \\ \sigma_{yy,k} &= A_2 \Delta \varepsilon_{xx,k} + A_1 \Delta \varepsilon_{yy,k} + Y_{yy}, \quad Y_{yy} = A_2 \beta_{xx} + A_1 \beta_{yy}, \quad A_2 = -B_2 / (B_1^2 - B_2^2), \quad (9) \\ \sigma_{xy,k} &= A_3 \Delta \varepsilon_{xy,k} + Y_{xy}, \quad \sigma_{zz,k} = -\alpha_2 (\sigma_{xx,k} + \sigma_{yy,k}) / \alpha_1 - \beta_{zz}, \quad Y_{xy} = A_3 b_{xy}, \quad A_3 = 1 / B_3. \end{aligned}$$

Невідомі $\Delta \chi_x$, $\Delta \chi_y$ і $\Delta \varepsilon_{zz}^0$ в (6) визначають з умов рівноваженості парних щодо x нормальних напружень σ_{zz}

$$\iint_{\Sigma} \sigma_{zz}(x,y) \rho dx dy = M_\rho \quad (\rho = 1, x, y), \quad \text{коли } M_1 = M_x = M_y = 0, \quad (10)$$

де M_1 – проекція на вісь z головного вектора контактних напружень, а M_x , M_y – відповідні проекції головного моменту зусиль, що діють на опору (кручення відсутнє). З огляду на симетрію задачі та $\sigma_{zz}(x,y) = \sigma_{zz}(-x,y)$ це рівняння у разі $\rho = x$ задовольняється автоматично.

Якщо у (10) підставити (6) і (9), з урахуванням симетричності області інтегрування щодо x і парності функцій $\sigma_{xx,k}$, $\sigma_{yy,k}$, b_{zz} , матимемо $\Delta \chi_x = 0$. Для обчислення $\Delta \varepsilon_{zz}^0$, $\Delta \chi_y$ отримуємо систему лінійних алгебричних рівнянь

$$\begin{aligned} \Delta \varepsilon_{zz}^0 L_{\rho 1} + \Delta \chi_y L_{\rho y} &= \bar{M}_\rho \quad (\rho = 1, y); \\ L_{\rho r} &= \iint_{\Sigma} \frac{\rho r dx dy}{\alpha_1}, \quad \bar{M}_\rho = \iint_{\Sigma} \frac{\alpha_2 (\sigma_{xx} + \sigma_{yy}) - b_{zz}}{\alpha_1} \rho r dx dy \quad (r, \rho = 1, x, y). \end{aligned}$$

Прирости Δu вектора переміщень пов'язані з приростами деформацій такими співвідношеннями:

$$\Delta \varepsilon_{xx} = \frac{\partial \Delta u_x}{\partial x}, \quad \Delta \varepsilon_{yy} = \frac{\partial \Delta u_y}{\partial y}, \quad \Delta \varepsilon_{xy} = \frac{1}{2} \left(\frac{\partial \Delta u_x}{\partial y} + \frac{\partial \Delta u_y}{\partial x} \right).$$

Інтенсивність напружень і деформацій, які використані вище, визначали для кожної елементарної комірки з числового розв'язку. Коефіцієнт інтенсивності напружень (КІН) K_1 в кожний момент часу $t_k = k \Delta t$ обчислювали зі співвідношення [11]

$$K_I = 12F \frac{\sqrt{l}}{BH} \left(1,93 - 3,07 \frac{l}{B} + 14,53 \left(\frac{l}{B} \right)^2 - 25,11 \left(\frac{l}{B} \right)^3 + 25,8 \left(\frac{l}{B} \right)^4 \right) \quad (11)$$

для пружної задачі триточкового згину балки з тріщиною, де $F = 2AP$ – контактна сила.

Числова реалізація. Для розрахунків моделей зразків зі сталі 15Х2НМФА застосовано метод скінченних різниць зі змінюваним кроком розбиття вздовж осей Ox (N елементів) і Oy (M елементів). Крок між точками розбиття найменший в околі вершини тріщини і на межах зразка. Характерний розмір ρ_{uc} комірок у радіусі 1...2 mm від вершини тріщини дорівнює середньому розміру зерна випробуваного металу 0,05 mm. Розбиття за часом рівномірне.

Виходячи з того, що руйнування в кожній комірці незалежна подія, для даних T_0 і K_I імовірність $P_f(K_I)$ крихкого руйнування за заданого K_I обчислюємо за формулою [3]

$$P_f(K_I) \Big|_{T=T_0} = 1 - \exp \left[- \frac{\varpi}{(\bar{\sigma}_d)^n} \sum_{m=1}^M \sum_{n=1}^N (\sigma_{nuc}^{n,m} - \sigma_{d0})^n \right], \quad (12)$$

де $\sigma_{nuc}^{n,m} = \sigma_1^{n,m} + m_T^{n,m} m_\varepsilon^{n,m} \sigma_{eff}^{n,m}$, $\varpi = 2H/\rho_{uc}$; H – товщина маломасштабного зразка; m , n – індекси елементарних комірок, утворених сітками розбиття вздовж осей Ox і Oy . Причому в сумах залежності (12) враховують тільки ті комірки, які руйнуються за умовами

$$\sigma_{eff}^{n,m} \geq 0, \quad \sigma_1^{n,m} \geq S_C^{n,m}, \quad \sigma_{nuc}^{n,m} \geq \sigma_{d0}^{n,m}.$$

Результати розрахунків середніх напружень у комірках поблизу вістря тріщини за відносно невеликих навантажень, коли у дискретизованій задачі пластичні деформації відсутні, зіставлялися з розрахованими для центра комірки на основі класичних одночленних асимптотичних залежностей п. 1.2 [11] з використанням КІН (11). Для комірок 1, 6 (див. рис. 1b), коли $x = 0,01$ mm, $y = 3 \pm 0,04$ mm різниця не перевищувала 0,3%.

На рис. 2–6 відображено результати розрахунків зразків Шарпі з коефіцієнтом зміцнення матеріалу $\eta_* = 0,05$. Обчислення здійснені за таких значень параметрів: $L = 60$ mm; $B = 10$ mm; $l = 3$ mm; $\Delta t = 5 \cdot 10^{-4}$ s; $a = 5$ mm; $p_{01} = 8$ МПа; $p_{02} = 10$ МПа; $M = 60$; $N = 77$. Найменший крок розбиття 0,02 mm, а найбільший 2,6 mm ($\Delta x_{\min} = 0,02$ mm; $\Delta y_{\min} = 0,04$ mm (лише перший шар); $\Delta x_{\max} = 2,6$ mm; $\Delta y_{\max} = 0,6$ mm).

Графіки розрахованої залежності від КІН K_I напружень, які виникають у комірці продовження тріщини (комірка 1 на рис. 1b) двовимірної моделі зразка Шарпі (рис. 2) свідчать, що з розвитком навантаження за перевищення інтенсивністю напружень рівня $K_I = K_{I*} = 93,5$ МПа \sqrt{m} , напруження у цій точці монотонний характер збільшення змінюють на коливний.

Дослідження залежності від K_I максимальних за абсолютною величиною значень напружень, що виникають на продовженні $x = 0$, $y > l$ осі тріщини (рис. 3) дає можливість стверджувати, що коли інтенсивність напружень набуває значення $K_I = K_{I*}$, максимальні напруження виникають у другій від вістря комірці 2 (див. рис. 1b). У цей момент у першій комірці, що торкається вістря спостерігають коливання напружень. Скоріше за все ці осциляції свідчать про втрату стійкості деформування в області вістря тріщини (комірки 1, 4–6 на рис. 1b) і ймовірний початок його руху.

У використаній моделі припускаємо, що довжина тріщини не змінюється. Врахування такої зміни потребує окремих досліджень.

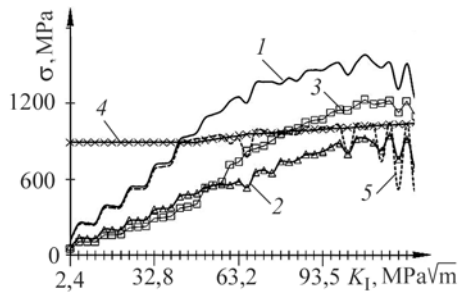


Рис. 2. Fig. 2.

Рис. 2. Напруження у комірці 1 (див. рис. 1b) на продовженні осі тріщини:
 1 – σ_{xx} ; 2 – σ_{yy} ; 3 – σ_{zz} ; 4 – напруження текучості σ_S ; 5 – еквівалентне напруження σ_{eq} .

Fig. 2. Stresses in a cell 1 (see Fig. 1b) at the extension of the crack axis:
 1 – σ_{xx} ; 2 – σ_{yy} ; 3 – σ_{zz} ; 4 – yield stresses, σ_S ; 5 – equivalent stresses σ_{eq} .

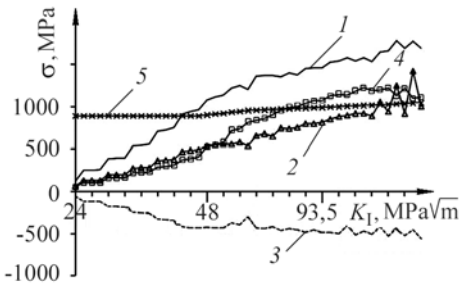


Рис. 3. Fig. 3.

Рис. 3. Максимальні напруження на осі продовження тріщини:
 1 – σ_{xx} ; 2 – σ_{yy} ; 3 – σ_{xy} ; 4 – σ_{zz} ; 5 – напруження текучості σ_S .

Fig. 3. Maximal stresses at the crack extension: 1 – σ_{xx} ; 2 – σ_{yy} ; 3 – σ_{xy} ; 4 – σ_{zz} ; 5 – yield stresses, σ_S .

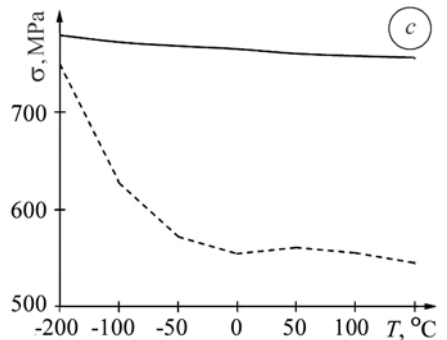
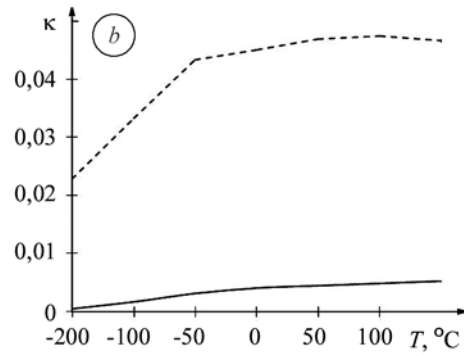
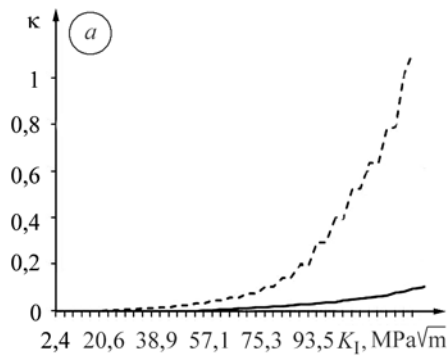


Рис. 4. Залежність параметра Одквіста κ від КІН K_I (a) і температури T (b) та середніх напружень σ від температури T (c) у комірці 1 (див. рис. 1b).

Суцільні лінії – плоска деформація; штрихові – плоский напружений стан.

Fig. 4. Dependence of Odqvist parameter, κ , on SIF K_I (a), and temperature T , (b) and also average stresses on temperature T , (c) in cell 1 (see Fig. 1b). Solid lines – plane strain; dashed – plane stress state.

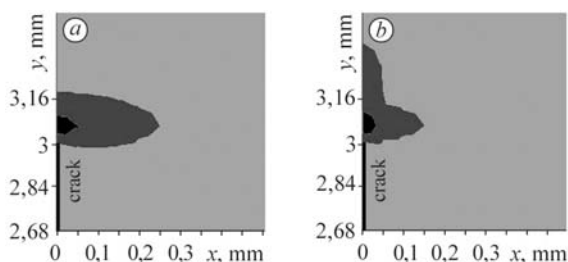
Виявлені залежності у комірці 1 (див. рис. 1b) параметра Одквіста κ від КІН K_I (рис. 4a), середніх напружень σ (рис. 4c) та параметра Одквіста κ (рис. 4b) від температури T , коли $K_I = K_{I0} = 57,1 \text{ MPa}\sqrt{\text{m}} < K_{I*}$, для плоскої деформації та плоского напруженого стану свідчать, що в усіх випадках плоскому напруженому стану властивий вищий рівень накопичених пластичних деформацій. Параметр κ і накопичені пластичні деформації з розвитком деформування (рис. 4a) зі збільшенням температури (рис. 4b) монотонно зростають. Під час плоскої дефор-

мації за більших середніх напружень накопичуються менші, ніж у випадку плоского напруженого стану, пластичні деформації, причому зі збільшенням температури за заданого докритичного рівня навантажень рівень середніх напружень у комірці 1 в цілому зменшується.

Вивчаючи розподіл головних нормальних σ_1 (рис. 5a) і дотичних напружень τ_1 (рис. 5b) в околі вістря тріщини завдовжки $l = 3$ mm, коли $K_I = K_{I0}$, виявили, що області найбільших нормальних і дотичних напружень зосереджені в зоні перед вістрям, причому місця екстремумів приблизно збігаються і лежать на продовженні осі тріщини на відстані 0,1 mm від її вістря.

Рис. 5. Головні нормальні σ_1 (a) та дотичні τ_1 (b) напруження в околі вістря тріщини.

Fig. 5. Main normal σ_1 (a) and tangential τ_1 (b) stresses in the area of the crack tip.



Імовірнісні криві (суцільні лінії) $K_{Ic}(T)$ (рис. 6) побудовано для опромієних зразків завтовшки 0,05 m зі сталі 15X2НМФА, що перебувають в окрихченому стані. Під час їх розрахунку параметр m_T взято у вигляді [4]

$$m_T = \sigma_{02}(T_0) - \sigma_{02}(350^\circ\text{C}).$$

У температурній залежності границі текучості (1) для сталі в окрихченому стані вибирали такі значення параметрів [4]: $a = 867$ МПа, $b = 975$ МПа, $c = 0,0305$ МПа·К⁻¹, $h = 1,04 \cdot 10^{-2}$ К⁻¹. Для розрахунку параметрів розподілу Вейбула, використано три дослідні [4] значення в'язкості руйнування

$$K_{Ic}(50^\circ\text{C}) \Big|_{P_f=0,05} = 53;$$

$$K_{Ic}(50^\circ\text{C}) \Big|_{P_f=0,5} = 88 \text{ і } K_{Ic}(50^\circ\text{C}) \Big|_{P_f=0,95} = 123,$$
 які є ординатами відповідних точок на штрихових лініях.

Мінімізація функції середньоквадратичного відхилення

$$\left(\left(P_f(K_I) \Big|_{K_I=53, T=50^\circ\text{C}} - 0,05 \right)^2 + \left(P_f(K_I) \Big|_{K_I=88, T=50^\circ\text{C}} - 0,5 \right)^2 + \left(P_f(K_I) \Big|_{K_I=123, T=50^\circ\text{C}} - 0,95 \right)^2 \right)^{1/2}$$

дала такі значення параметрів розподілу: $\bar{\sigma}_d = 17960$ МПа, $\sigma_{d0} = 1590$ МПа, $\eta = 6$. Для порівняння на рис. 6 зазначено використані [4] значення параметрів Вейбула, а круглими маркерами позначено експериментальні дані визначення K_{Ic} триточковим згином маломасштабних зразків Шарпі.

Для розрахунку значень функцій $P_f(K_I)$ спочатку методом скінченних різниць розв'язували динамічні пружно-пластичні задачі для різних значень темпе-

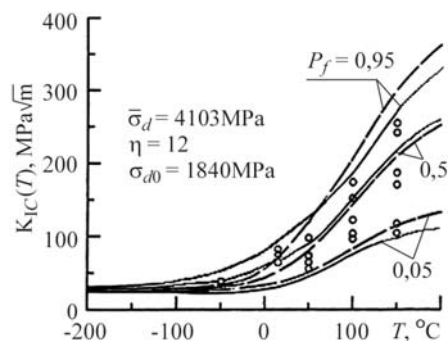


Рис. 6. Температурна залежність в'язкості руйнування $K_{Ic}(T)$ для різних рівнів імовірності руйнування.

Fig. 6. Fracture toughness, $K_{Ic}(T)$ dependence on temperature for different values of fracture probability.

ратур T_0 у діапазоні від -200°C до 200°C з кроком 50°C (ефективні напруження обчислювали за виразом (3)), а потім, згідно з (12), розраховували коефіцієнт інтенсивності напружень K_I за значень ймовірності крихкого руйнування 0,05; 0,5; 0,95 і за отриманими точками на площині $ТОK_I$ будували остаточні залежності критичного коефіцієнта інтенсивності напружень $K_{Ic}(T)$.

Для порівняння штриховою лінією на рис. 6 зображено результати праці [9]. Отримані суцільні криві в цілому краще відповідають експериментальним даним.

ВИСНОВКИ

Розв'язування уточненої задачі плоскої деформації у динамічному пружно-пластичному формулюванні дає можливість набагато точніше визначити поля пластичних деформацій і напружень, аніж за розв'язку квазістатичної пружно-пластичної задачі плоскої деформації. Запропонована методика неруйнівного визначення границі міцності і в'язкості руйнування покращує запропоновані [1–4] розрахункові методики.

РЕЗЮМЕ. Разработан метод неразрушающего определения предела прочности и вязкости разрушения K_{Ic} конструкционных сталей, основанный на высокоточном вычислении деформаций и напряжений, полученных из численного решения задачи уточненного плоского деформированного состояния в нестационарной упруго-пластической постановке. Разработанная методика хорошо описывает деградацию прочности материалов конструкций, предназначенных для длительной эксплуатации при высоких либо низких температурах, в агрессивной среде или под радиационным облучением, например реакторных сталей 15X2НМФА, 10ГН2МФА, 2Cr–Ni–Mo–V.

SUMMARY. The method of non-destructive evaluation of ultimate strength and fracture toughness K_{Ic} of structural steels, based on high-precision calculations of strains and stresses, obtained from numerical solution of the problem of the plane strain state in non-stationary elastoplastic formulation was developed. The method describes well the degradation of the strength of structural materials used for long-term operation at high or low temperatures in aggressive environments or under radioactive irradiation, e.g. reactor steels 15X2НМФА, 10ГН2МФА, 2Cr–Ni–Mo–V.

1. Богданов В. Р. Визначення в'язкості руйнування матеріалу на основі чисельного моделювання плоского напруженого стану // Вісник Київського національного ун-ту. Серія фіз.-мат. науки. – 2008. – № 3. – С. 51–56.
2. Марголин Б. З., Швецова В. А. Критерий хрупкого разрушения: структурно-механический подход // Пробл. прочности. – 1992. – № 2. – С. 3–16.
3. Махненко В. И. Совершенствование методов оценки остаточного ресурса сварных соединений конструкций длительного срока эксплуатации // Автоматическая сварка. 2003. – № 10–11. – С. 112–121.
4. Fracture toughness predictions for a reactor pressure vessel steel in the initial and highly embrittled states with the Master Curve approach and a probabilistic model / B. Z. Margolin, V. A. Shvetsova, A. G. Gulenko, et al. // Pressure Vessels and Piping. – 2002. – Jan. – P. 219–231.
5. Margolin B. Z., Shvetsova V. A., and Karzov G. P. Brittle fracture of nuclear pressure vessel steels. Part 1. Local criterion for cleavage fracture // Int. J. Pressure Vessels Piping. – 1997. – 72. – P. 73–87.
6. Weibull W. A. A statistical theory of the strength of materials // Roy Swed Inst. Eng. Res. – 1939. – 151. – P. 5–45.
7. Махненко В. И. Расчетные методы исследования кинетики сварочных напряжений и деформаций. – К.: Наук. думка, 1976. – 320 с.
8. Kubenko V. D. and Bogdanov V. R. Planar problem of the impact of a shell on an elastic half-space // Int. Applied Mechanics. – 1995. – 31, № 6. – P. 483–490.
9. Боли Б., Уэйнер Дж. Теория температурных напряжений. – М.: Мир, 1964. – 360 с.
10. Хемминг Р. В. Численные методы. – М.: Наука, 1972. – 399 с.
11. Саврук М. П. Механика разрушения и прочность материалов. Т. 2. Коэффициенты интенсивности напряжений в телах с трещинами. – К.: Наук. думка, 1988. – 620 с.

Одержано 19.01.2010